

ОПТИЧЕСКАЯ АНИЗОТРОПИЯ МАКРОМОЛЕКУЛ ПРОИЗВОДНЫХ ПОЛИСТИРОЛА

Э. В. Фрисман, А. М. Марциновский, Н. А. Домничева

Изучение двойного лучепреломления в потоке растворов полимеров позволяет определить разность поляризуемостей сегмента ($\alpha_1 - \alpha_2$) [1]:

$$\alpha_1 - \alpha_2 = \frac{45n_s kT}{4\pi(n_s^2 + 2)^2} \cdot \frac{[n]}{[\eta]} \quad (1)$$

Здесь $[n]/[\eta]$ — отношение динамооптической постоянной к характеристической вязкости образца в данном растворителе; n_s — показатель преломления растворителя; k — постоянная Больцмана; T — абсолютная температура.

Пользуясь схемой тензорной аддитивности поляризуемостей связей, можно вычислить оптическую анизотропию ($a_{\parallel} - a_{\perp}$) мономерного звена макромолекулы. При этом, $a_{\parallel} = a_1$ и $a_{\perp} = 1/2(a_2 + a_3)$ — соответственно поляризуемости мономерного звена вдоль молекулярной цепи и перпендикулярно к ней.

Сравнение экспериментального значения анизотропии сегмента с теоретическим значением анизотропии мономерного звена позволяет судить о структуре молекулярной цепи [2, 3]. Оптическая анизотропия макромолекулы полистирола в основном определяется наличием в ней бензольных колец. Поэтому значения ($\alpha_1 - \alpha_2$) и ($a_{\parallel} - a_{\perp}$) зависят от положения плоскости бензольных колец относительно цепи главных валентностей.

Вычисление [4] ($a_{\parallel} - a_{\perp}$) для случаев перпендикулярной ориентации плоскости бензольного кольца и свободного вращения вокруг С—С-связи дает значения ($-53 \cdot 10^{-25} \text{ см}^3$) и ($-9 \cdot 10^{-25} \text{ см}^3$)¹. Отношение экспериментальной величины ($\alpha_1 - \alpha_2 \approx -150 \cdot 10^{-25} \text{ см}^3$) для полистирола [5–8] к вычисленной величине ($a_{\parallel} - a_{\perp}$) характеризует число мономерных звеньев S_1 в оптическом сегменте, т. е. «оптическую жесткость» полимерной цепи.

Однако для двух крайних значений ($a_{\parallel} - a_{\perp}$) S_1 получается либо очень малым, либо очень большим в сравнении со значением S_2 для геометрического сегмента. Поэтому надо полагать, что бензольные кольца обладают некоторой свободой вращения относительно С—С-связи.

Если принять $S_1 = S_2 = S$ [1, 9] и воспользоваться значением S из изучения геометрических параметров цепи и величиной ($\alpha_1 - \alpha_2$), то можно определить экспериментальное значение ($a_{\parallel} - a_{\perp})_E$, которое при сравнении с вычисленной разностью поляризуемостей мономерного звена позволяет определить степень заторможенности вращения бензольных колец в молекуле полистирола.

Исследование светорассеяния в растворах хлорзамещенных полистирола [10, 11] показало, что введение тяжелых атомов в бензольное

¹ Вычисление ($a_{\parallel} - a_{\perp}$) для параллельной ориентации плоскости бензольного кольца не имеет смысла, так как при этом получается положительная анизотропия.

кольцо не влияет на жесткость основной цепи, т. е. не изменяет числа мономерных звеньев в сегменте. Оптическая же анизотропия ($\alpha_1 - \alpha_2$) таких цепей имеет значительно большее значение, чем у полистирола, что вызвано, следовательно, возрастанием величины ($a_{\parallel} - a_{\perp}$). Изменение ($a_{\parallel} - a_{\perp}$) обусловлено прежде всего изменением анизотропии боковой группы. Кроме того, можно предположить, что замещение водородных атомов в бензольном кольце другими атомами может изменить характер вращения боковых групп.

Сравнение экспериментальных значений ($\alpha_1 - \alpha_2$) с вычисленными величинами ($a_{\parallel} - a_{\perp}$) позволит решить вопрос о том, какая из указанных причин играет большую роль.

Метод исследования. Образцы

Оптическую анизотропию определяли из изучения двойного лучепреломления растворов полимеров.

Измерения производили в универсальном динамооптиметре с рабочей длиной $l = 10$ см и зазором $\Delta r = 0,085$ см. Величину двойного лучепреломления определяли полутеневым слюдяным компенсатором 0,016 л ($\lambda = 5461$ Å). Конструкция прибора и схема установки описаны в ряде работ [12—14]. Для стабилизации температуры использовали термостат типа ТС-15.

Были изучены растворы двух фракций и одного нефракционированного образца поли-*n*-хлорстиrolа, нефракционированного поли-2,5-дихлорстиrolа, нефракционированного поли-2,5-диметилстиrolа. Для сравнения исследованы также растворы фракций полистирола.

Таблица 1

Характеристические значения вязкости и двойного лучепреломления производных полистирола в бромоформе и оптическая анизотропия изученных образцов

Полимер	$[\eta]$, см ² /г	$\frac{[n]}{[\eta]} \cdot 10^6$	$(\alpha_1 - \alpha_2) \cdot 10^{25}$, см ² $\left[\frac{\Delta n}{g(\eta - \eta_0)} \right] \cdot 10^6$	$(\alpha_1 - \alpha_2) \cdot 10^{25}$, см ²
Поли- <i>n</i> -хлорстиrol:				
Образец I	89			
» II	103	-2,50	-280	-2,50
Фракция IX	80			
Поли-2,5-дихлорстиrol	170	-2,40	-269	-2,37
Поли-2,5-диметилстиrol	81,5	-1,59	-178	-1,59
Полистирол	125	-1,36	-152	-1,42

Использование бромоформа в качестве растворителя для всех образцов дает пренебрежимо малое значение эффекта формы [13, 15—18] и обеспечивает возможность определения ($\alpha_1 - \alpha_2$) по измеренным значениям $[n]/[\eta]$ согласно уравнению (1).

Определены характеристические вязкости всех образцов в бромоформе, которые приведены во втором столбце табл. 1.

Результаты измерений

Растворы всех исследованных образцов в бромоформе имеют отрицательное двойное лучепреломление, величина которого Δn возрастает пропорционально градиенту скорости g .

В качестве примера на рис. 1 и 2 даны рабочие кривые $\Delta n = f(g)$ для растворов фракции поли-*n*-хлорстиrolа и поли-2,5-дихлорстиrolа различных концентраций.

Динамооптические постоянные:

$$[n] = \lim_{\substack{c \rightarrow 0 \\ g \rightarrow 0}} [n]^* = \lim_{\substack{c \rightarrow 0 \\ g \rightarrow 0}} \left(\frac{\Delta n}{gc\eta_0} \right)$$

(η_0 — вязкость растворителя; Δn — избыточное двойное лучепреломление) можно найти из графиков $\lim_{g \rightarrow 0} [n]^* = F(c)$. Однако мы предложили

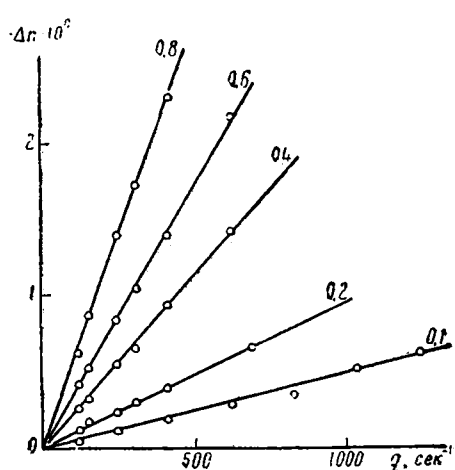


Рис. 1

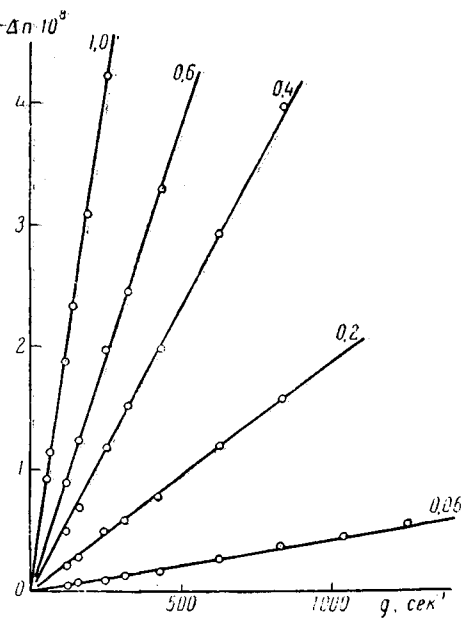


Рис. 2

Рис. 1. Зависимость $\Delta n = f(g)$ для растворов фракции поли-*n*-хлорстиrolа в бромоформе

Цифры у прямых указывают концентрацию растворов в г/100 см³

Рис. 2. Зависимость $\Delta n = f(g)$ для растворов поли-2,5-дихлорстиrolа в бромоформе
Цифры у прямых указывают концентрацию растворов в г/100 см³

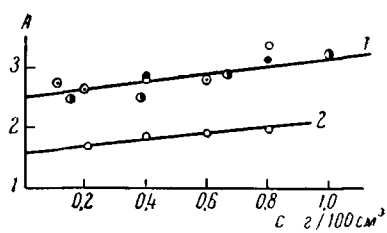


Рис. 3

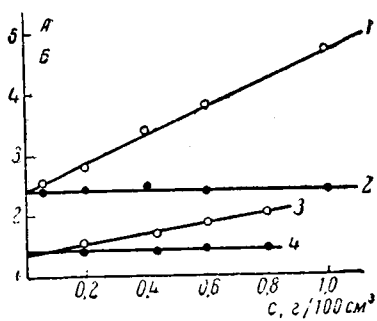


Рис. 4

Рис. 3. Зависимость $(\Delta n / gc\eta_0)_{g \rightarrow 0} \cdot 1 / [\eta] \cdot 10^9(A) = f(c)$ для растворов всех исследованных образцов поли-*n*-хлорстиrolа (1) и поли-2,5-диметилстиrolа (2) в бромоформе

Рис. 4. Зависимости $(\Delta n / gc\eta_0)_{g \rightarrow 0} \cdot 1 / [\eta] \cdot 10^9(A) = f(c)$ и $[\Delta n / g(\eta - \eta_0)]_{g \rightarrow 0} \cdot 10^9(B) = f(c)$ для растворов поли-2,5-дихлорстиrolа (1, 2) и полистирола (3, 4) в бромоформе

привести концентрационную зависимость величины $\lim_{g \rightarrow 0} [n]^*/[\eta]$, пропорциональной оптической анизотропии сегмента. Указанная зависимость изображена на рис. 3 для всех исследованных образцов поли-*n*-хлорстиrolа и поли-2,5-диметилстиrolа и на рис. 4 для поли-2,5-дихлорстиrolа и полистирола.

По экспериментальным величинам $[n]/[\eta]$ были определены значения $(\alpha_1 - \alpha_2)$, которые приведены в четвертом столбце табл. 1.

Как указывалось раньше [8], для определения оптической анизотропии сегмента можно также воспользоваться методом Петерлина [19, 20], согласно которому отношение приведенных значений двойного лучепреломления и вязкости $\Delta n/g(\eta - \eta_0)$ (η — вязкость раствора) остается постоянным для всех концентраций раствора. Зависимости $\Delta n/g(\eta - \eta_0) = F(c)$, изображенные на рис. 4 и 5, показывают, что для всех образцов точки хорошо ложатся на прямые, параллельные оси концентраций.

Определенные таким методом [8] значения $(\alpha_1 - \alpha_2)$, одинаковые для всех концентраций растворов, даны в табл. 1 (столбец 6).

Из таблицы видно, что оба метода дают хорошо согласующиеся величины.

Обсуждение результатов

Простые соображения показывают, что число мономерных звеньев S в сегменте пропорционально отношению \bar{h}_0^2 / \bar{h}^2 , где \bar{h}_0^2 — среднее квадратичное расстояние между концами цепи в идеальном растворителе, а \bar{h}^2 — такая же величина для цепи Эйринга [21].

Если воспользоваться значением \bar{h}_0^2 / \bar{h}^2 для полистирола (из изучения светорассеяния в идеальном растворителе) [22], то S оказывается приблизительно равным восьми. Таким образом, зная S и $(\alpha_1 - \alpha_2)$, можно определить $(a_{\parallel} - a_{\perp})_S$.

Сравнение последней величины с вычисленным значением $(a_{\parallel} - a_{\perp})$ позволяет найти степень заторможенности вращения бензольного кольца в молекуле полистирола.

Как указывалось выше, введение заместителей в бензольное кольцо молекулы полистирола не влияет на ее размеры. Таким образом, для производных полистирола можно принять S также равным восьми. Если, кроме того, допустить, что степень заторможенности вращения боковой группы такая же, как у полистирола, то можно вычислить $(a_{\parallel} - a_{\perp})_B$, зная S , также и $(\alpha_1 - \alpha_2)$.

В табл. 2 даны значения $(a_{\parallel} - a_{\perp})_S$ и $(\alpha_1 - \alpha_2)$, вычисленные в работе [9] для производных полистирола. Там же даны экспериментальные величины $(\alpha_1 - \alpha_2)$.

Сравнение показывает, что экспериментальные и теоретические величины $(\alpha_1 - \alpha_2)$ довольно хорошо совпадают для поли-*n*-хлорстиrolа и поли-2,5-диметилстиrolа. Это свидетельствует о том, что наличие в бензольном кольце одного хлора в пара-положении и двух метильных групп в положениях 2,5 практически не влияет на степень заторможенности вращения боковых групп.

Различие в разности поляризуемостей сегмента этих молекул и молекулы полистирола вызвано лишь наличием других анизотропных связей в мономерном звене.

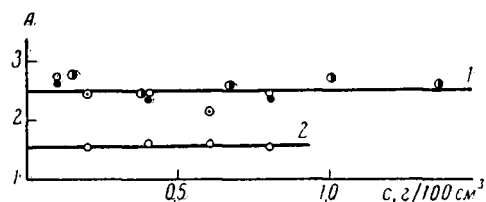


Рис. 5. Зависимость $[\Delta n/g(\eta - \eta_0)]_{g \rightarrow 0} \cdot 10^9 (A) = f(c)$ для растворов всех исследованных образцов поли-*n*-хлорстиrolа (1) и поли-2,5-диметилстиrolа (2) в бромоформе

Для поли-2,5-дихлорстирола последнее обстоятельство не может объяснить наблюдаемой величины ($\alpha_1 - \alpha_2$). Здесь необходимо предположить, что характер вращения боковых групп полистирола и поли-2,5-дихлорстирола различен. Это представление кажется вполне вероятным, если

Таблица 2

Теоретические [9] и экспериментальные значения сегментной анизотропии производных полистирола

Полимер	$(\alpha_{ } - \alpha_{\perp}) \cdot 10^{25} \text{ см}^2$, теоретические	$(\alpha_t - \alpha_s) \cdot 10^{25} \text{ см}^2$, теоретические	$(\alpha_1 - \alpha_2) \cdot 10^{25} \text{ см}^2$, экспериментальные
Полистирол	-18,7	-150	-155 (-150) [5, 6]
Поли- <i>n</i> -хлорстирол	-31,5	-250	-280
Поли-2,5-диметилстирол	-25,2	-200	-180
Поли-2,5-дихлорстирол	-19,5	-160	-265

учесть, что в молекуле поли-2,5-дихлорстирола тяжелый атом хлора расположен весьма близко к главной цепи.

Пользуемся случаем выразить глубокую благодарность В. Н. Цветкову за интересную дискуссию по излагаемым вопросам.

Выводы

1. Измерена сегментная анизотропия производных полистирола методом динамического двойного лучепреломления.

2. Анализ экспериментальных данных показывает, что характер вращения боковых групп в молекулах поли-*n*-хлорстирола, поли-2,5-диметилстирола и полистирола можно считать одинаковым.

3. Указанное допущение не удовлетворяет экспериментальным данным для поли-2,5-дихлорстирола. В этом случае степень заторможенности вращения боковых групп следует считать отличной от степени заторможенности вращения бензольных колец в молекуле полистирола.

Физический институт Ленинградского
государственного университета

Поступила в редакцию
4 III 1960

ЛИТЕРАТУРА

1. W. Kuhn, H. Kuhn, *Helv. Chim. Acta*, 26, 1395, 1943; 28, 1533, 1945; 29, 71, 1946.
2. В. Н. Цветков, Л. Н. Верхотина, *Ж. техн. физики*, 28, 97, 1958.
3. С. Я. Магарик, В. Н. Цветков, *Ж. физ. химии*, 33, 835, 1959.
4. В. Н. Цветков, В. Е. Бычкова, С. М. Саввон, И. К. Некрасов, Высокомолек. соед. 1, 1407, 1959.
5. Э. В. Фрисман, Э. Н. Архипова, *Ж. техн. физики*, 29, 198, 1959.
6. Э. В. Фрисман, Т. И. Гармонова, В. Е. Бычкова, *Ж. техн. физики*, 29, 207, 1959.
7. Э. В. Фрисман, В. Н. Цветков, *J. Polymer Sci.*, 30, 297, 1958.
8. Э. В. Фрисман, М. А. Сибилева, А. В. Красноперова, Высокомолек. соед., 1, 597, 1959.
9. Т. М. Бирштейн, Диссертация, ИВС АН СССР, 1960 г.
10. Э. Ф. Фрисман, Л. Ф. Шалаева, Докл. АН СССР, 101, 907, 1955.
11. В. Е. Эскин, К. З. Гумаргалиева, Высокомолек. соед., 2, 265, 1960.
12. Э. В. Фрисман, В. Н. Цветков, *Ж. эксп. и теорет. физики*, 23, 690, 1952.
13. Э. В. Фрисман, В. Н. Цветков, *Ж. техн. физики*, 25, 447, 1955.
14. В. Н. Цветков, С. М. Саввон, *Ж. техн. физики*, 26, 348, 1956.
15. В. Н. Цветков, Э. В. Фрисман, *Ж. экспер. и теорет. физики*, 15, 276, 351, 1945.
16. В. Н. Цветков, Э. В. Фрисман, Докл. АН СССР, 97, 647, 1954.

17. Э. В. Фрисман, В. Н. Цветков, Докл. АН СССР, **106**, 42, 1956.
18. В. Н. Цветков, Э. В. Фрисман, О. Б. Птицын, С. Я. Котляр, Ж. техн. физики, **28**, 1428, 1958.
19. A. Peterlin, J. Polymer Sci., **12**, 45, 1954.
20. A. Peterlin, R. Signer, Helv. Chim. Acta, **36**, 1575, 1953.
21. H. Eiring, Physic. Rev., **39**, 7461, 1932.
22. W. Krigbaum, D. Carpenter, J. Phys. Chem., **59**, 1166, 1955.

OPTICAL ANISOTROPY OF THE MACROMOLECULES OF POLYSTYRENE DERIVATIVES

E. V. Frisman, A. M. Martsinovskii, N. A. Domnicheva

Summary

The segmental optical anisotropy of some polystyrene derivatives has been determined from flow birefringence measurements. The rotation of the side chains of polypara-chlorostyrene, poly-2,5-dimethylstyrene and polystyrene has been shown to be of identical character. In order to explain the observed segmental anisotropy of poly-2,5-dichlorostyrene one must assume the rotation of its side chains to differ from those of polystyrene.